

ETC....

... ODER WAS MAN AUS TURN-BY-TURN DATEN LERNEN KANN.

Alexander Kling

MPE - DESY

Grömitz

22. März 2010



1 WOZU TURN-BY-TURN DATEN



OUTLINE.

- 1 WOZU TURN-BY-TURN DATEN
- 2 EIN BEISPIEL: PETRA III



- 1 WOZU TURN-BY-TURN DATEN
- 2 EIN BEISPIEL: PETRA III
- 3 INTERPRETATION VON TURN-BY-TURN DATEN



- 1 WOZU TURN-BY-TURN DATEN
- 2 EIN BEISPIEL: PETRA III
- 3 INTERPRETATION VON TURN-BY-TURN DATEN
- 4 PROBLEME UND GRENZEN



- 1 Wozu TURN-BY-TURN DATEN
- 2 EIN BEISPIEL: PETRA III
- 3 INTERPRETATION VON TURN-BY-TURN DATEN
- 4 PROBLEME UND GRENZEN
- 5 ZUSAMMENFASSUNG



ÜBERSICHT.

- 1 WOZU TURN-BY-TURN DATEN
- 2 EIN BEISPIEL: PETRA III
- 3 INTERPRETATION VON TURN-BY-TURN DATEN
- 4 PROBLEME UND GRENZEN
- 5 ZUSAMMENFASSUNG



NUTZEN VON TURN-BY-TURN DATEN.

- Fädeln des ersten Umlaufs.



NUTZEN VON TURN-BY-TURN DATEN.

- Fädeln des ersten Umlaufs.
- Injektionsstudien.



NUTZEN VON TURN-BY-TURN DATEN.

- Fädeln des ersten Umlaufs.
- Injektionsstudien.
- Summensignal gibt eine Möglichkeit zur Strommessung.



NUTZEN VON TURN-BY-TURN DATEN.

- Fädeln des ersten Umlaufs.
- Injektionsstudien.
- Summensignal gibt eine Möglichkeit zur Strommessung.
- Post Mortem Analyse bei Strahlverlust.



NUTZEN VON TURN-BY-TURN DATEN.

- Fädeln des ersten Umlaufs.
- Injektionsstudien.
- Summensignal gibt eine Möglichkeit zur Strommessung.
- Post Mortem Analyse bei Strahlverlust.
- Schnelle Orbitdaten für Feedbacks.



NUTZEN VON TURN-BY-TURN DATEN.

- Fädeln des ersten Umlaufs.
- Injektionsstudien.
- Summensignal gibt eine Möglichkeit zur Strommessung.
- Post Mortem Analyse bei Strahlverlust.
- Schnelle Orbitdaten für Feedbacks.
- Spektrale Analyse der Turn-by-Turn Daten.
z.B.: **Tune Messung**, Frequency Map, etc...



LOCO.

LINEAR OPTICS FROM CLOSED ORBIT

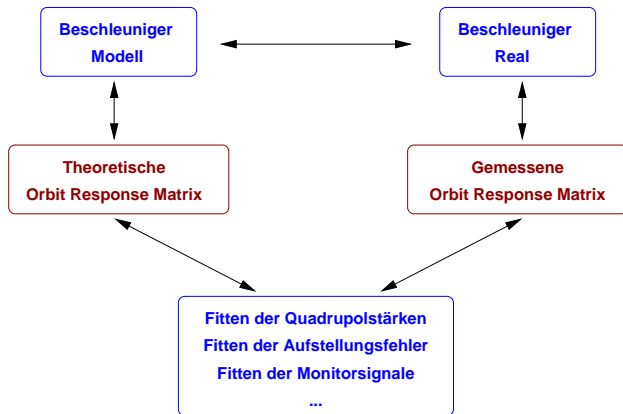


FIGURE: Kalibration des Beschleuniger Modells mittels ORM.



LOBO.

LINEAR OPTICS FROM BETATRON OSCILLATION

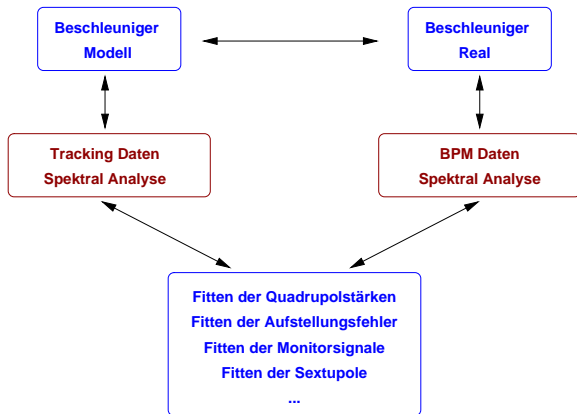


FIGURE: Kalibration des Beschleuniger Modells mittels Turn-by-turn Daten.



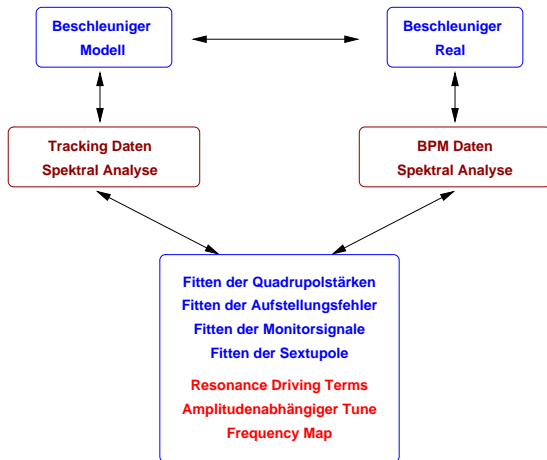


FIGURE: Kalibration des Beschleuniger Modells mittels Turn-by-turn Daten. Information über nichtlineare Dynamik



ÜBERSICHT.

- 1 WOZU TURN-BY-TURN DATEN
- 2 EIN BEISPIEL: PETRA III**
- 3 INTERPRETATION VON TURN-BY-TURN DATEN
- 4 PROBLEME UND GRENZEN
- 5 ZUSAMMENFASSUNG



SIXTRACK DATEN VS. REALE DATEN.

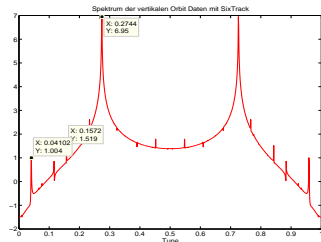
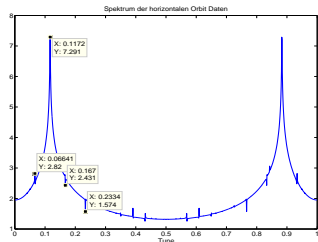
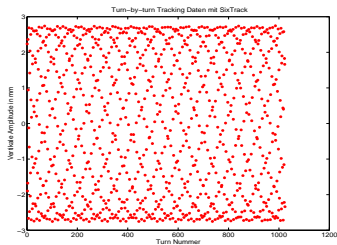
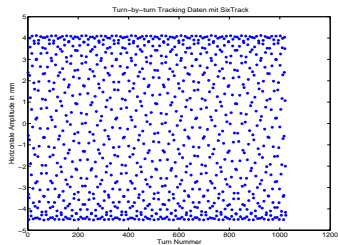


FIGURE: Spektrum horizontaler Orbitdaten erzeugt mit SixTrack. Die Simulation enthält Multipolfehler, aber keine Optikfehler.

FIGURE: Spektrum vertikaler Orbitdaten erzeugt mit SixTrack. Die Simulation enthält Multipolfehler, aber keine Optikfehler



SIXTRACK DATEN VS. REALE DATEN.

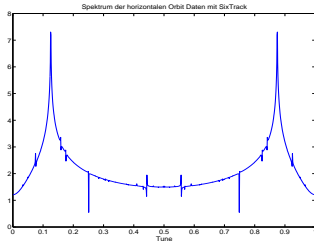
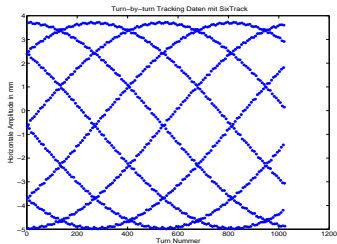


FIGURE: Spektrum horizontaler Orbitdaten erzeugt mit SixTrack. Die Simulation enthält Multipolfehler und Optikfehler, $Q_x = 0.125$.

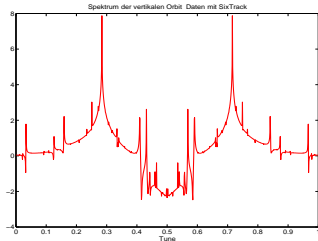
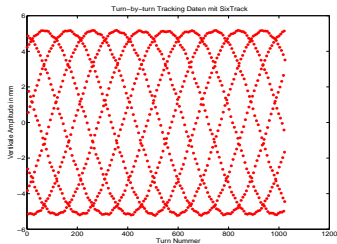


FIGURE: Spektrum vertikaler Orbitdaten erzeugt mit SixTrack. Die Simulation enthält Multipolfehler und Optikfehler.



SIXTRACK DATEN VS. REALE DATEN.

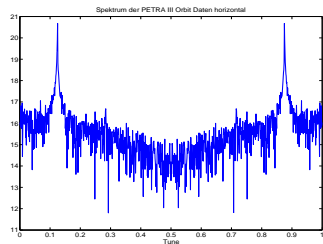
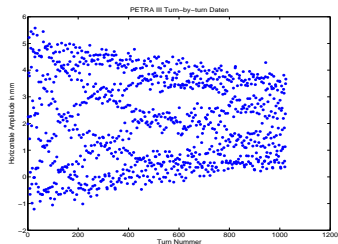


FIGURE: Spektrum gemessener Orbitdaten in der horizontalen Ebene.

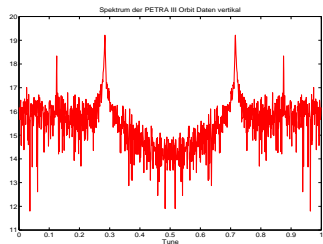
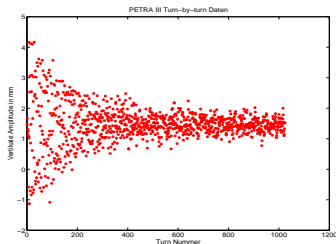


FIGURE: Spektrum gemessener Orbitdaten in der vertikalen Ebene.

SIXTRACK DATEN VS. REALE DATEN.

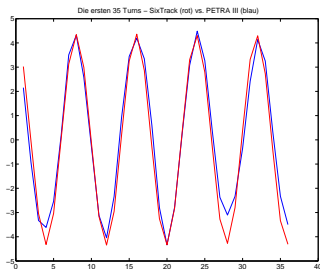


FIGURE: Vergleich der ersten 35 Umläufe simulierter und gemessener Orbitdaten in der horizontalen Ebene.

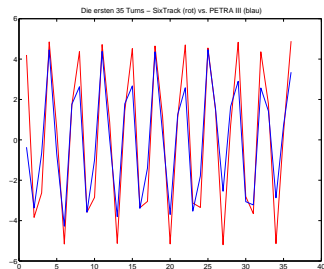


FIGURE: Vergleich der ersten 35 Umläufe simulierter und gemessener Orbitdaten in der vertikalen Ebene.



SIXTRACK DATEN VS. REALE DATEN.

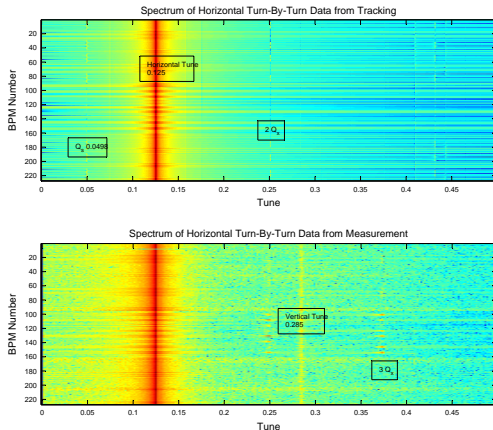


FIGURE: Vergleich des gemessenen horizontalen Spektrums mit Tracking Daten erzeugt mit einer modifizierten SixTrack Version (Dank an M. Vogt!). Das Modell enthält sowohl Quadrupol- als auch Multipolfehler.



SIXTRACK DATEN VS. REALE DATEN.

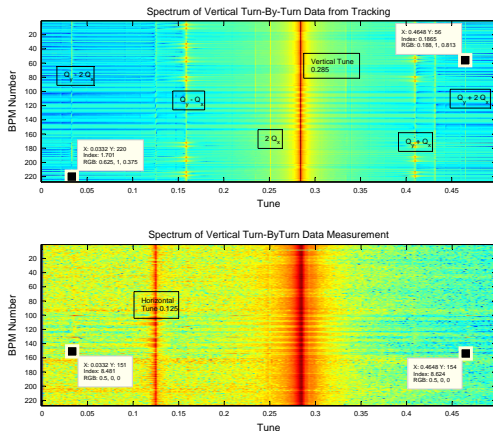


FIGURE: Vergleich des gemessenen vertikalen Spektrums mit Tracking Daten erzeugt mit einer modifizierten SixTrack Version (Dank an M. Vogt!). Das Modell enthält sowohl Quadrupol- als auch Multipolfehler.



SIXTRACK DATEN VS. REALE DATEN.

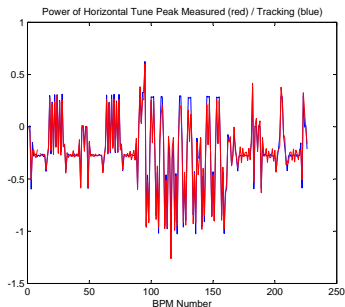


FIGURE: Gemessenes (rot) Powerspektrum des horizontalen Tunes im Vergleich mit Tracking Daten (blau). Das Signal ist proportional zur horizontalen Betafunktion - Optikmessung.

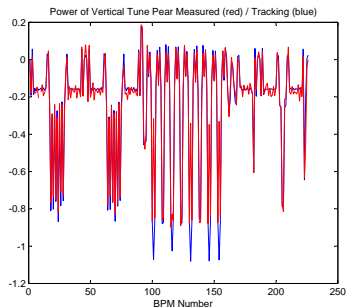


FIGURE: Gemessenes (rot) Powerspektrum des vertikalen Tunes im Vergleich mit Tracking Daten (blau). Das Signal ist proportional zur vertikalen Betafunktion - Optikmessung.



SIXTRACK DATEN VS. REALE DATEN.

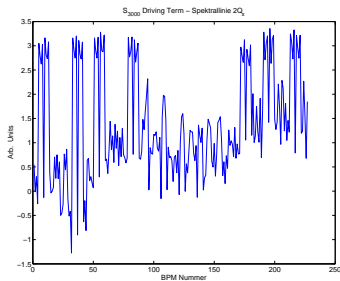


FIGURE: Verlauf des Sextupol Driving Terms S_{3000} entlang des Ringes ermittelt aus den Tracking Daten mittels SixTrack. Entspricht der Linie $2Q_x$ im horizontalen Spektrum.

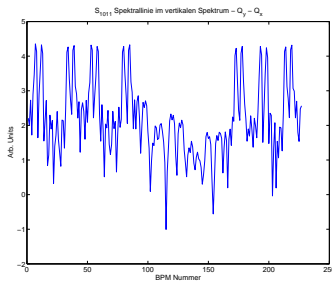


FIGURE: Verlauf des Sextupol Driving Terms S_{1011} entlang des Ringes ermittelt aus den Tracking Daten mittels SixTrack. Entspricht der Linie $Q_y - Q_x$ im vertikalen Spektrum.



ÜBERSICHT.

- 1 WOZU TURN-BY-TURN DATEN
- 2 EIN BEISPIEL: PETRA III
- 3 INTERPRETATION VON TURN-BY-TURN DATEN**
- 4 PROBLEME UND GRENZEN
- 5 ZUSAMMENFASSUNG



SPEKTRALE ZERLEGUNG QUASIPERIODISCHER BEWEGUNG.

- Stabile Bewegung um einen Fixpunkt.
- Transformation auf Winkel-Wirkungs Variable:

$$(p, q) \rightarrow (J, \Phi).$$

- Phasenraum Vektor muss eine periodische Funktion der Winkelvariablen sein:

$$z_j = \sum_{\mathbf{m}} a_{j,\mathbf{m}} e^{2\pi i m_i \Phi_i}$$

- z_j ist im Allgemeinen **keine** periodische Funktion der Zeit!



NORMAL FORM DER HAMILTONSCHEN FUNKTION.

- Um einen Elliptischen Fixpunkt kann der quadratische Anteil der Hamiltonschen Funktion immer in die Form

$$H_2 = \sum_i \frac{\omega_i}{2} (P_i^2 + Q_i^2)$$

gebracht werden.

- In der **Birkhoff Normal Form** stellt sich die volle Hamiltonsche Funktion als Polynom in den Wirkungen

$$W_i = \frac{1}{2} (P_i^2 + Q_i^2)$$

dar.

$$H = \sum_i H_i, \quad H_i = a_{m_i} W_i^{m_i}, \quad \sum_i m_i = i.$$



NORMAL FORM DER HAMILTONSCHEN FUNKTION.

RESONANZBEDINGUNG

- Man schreibt statt

$$\frac{1}{2} (P_i^2 + Q_i^2) \rightarrow z\bar{z}.$$

- Sukzessive kanonische Transformationen mit homogenen Polynomen vom Grad N

$$F_2(Z, \bar{z}) = Z\bar{z} + S_N(Z, \bar{z}).$$

- In der Ordnung N erhält man aus der Transformation von H_2

$$K_N = \sum_i \frac{\omega_i}{2} \left(Z_i \frac{\partial}{\partial Z_i} - \bar{Z}_i \frac{\partial}{\partial \bar{Z}_i} \right) S_N(Z, \bar{Z}) + H_N(Z, \bar{Z}).$$

- Für $S_N \sim a_{\alpha\beta} Z_i^{\alpha_i} \bar{Z}_i^{\beta_i}$ erhält man

$$K \sim S_N \sum_i \omega_i (\alpha_i - \beta_i) + H_N(Z, \bar{Z})$$

- Das heißt, Terme mit

$$\alpha = \beta \quad \text{und unter der Bedingung} \quad \sum_i a_i \omega_i = 0$$

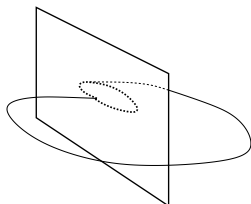
können nicht eliminiert werden.



DISKRETE ZEITSCHRITTE - MAPS.

LINEARE ABBILDUNGEN

- Stroboskopische Abbildung für periodische Systeme. **Poincaré Section.**



- Lineare One-Turn-Map (1d)

$$M = \begin{pmatrix} \cos 2\pi Q + \alpha \sin 2\pi Q & \beta \sin 2\pi Q \\ -\gamma \sin 2\pi Q & \cos 2\pi Q - \alpha \sin 2\pi Q \end{pmatrix}.$$

Oder

$$M = \cos 2\pi Q \mathbb{1} + \sin 2\pi Q J = e^{2\pi Q J}$$

mit

$$J = \begin{pmatrix} \alpha & \beta \\ -\gamma & -\alpha \end{pmatrix}, \quad J^2 = -\mathbb{1}$$



DISKRETE ZEITSCHRITTE - MAPS.

NICHT LINEARE ABBILDUNGEN

- Verallgemeinerung entweder direkt über Potenzreihen (**Taylor Maps**)

$$M(X) = \sum_i M_i(X) \quad M_i(X) = M \cdot X^i.$$

Ist im allgemeinen **nicht symplektisch**.

- Lie-Algebra Methode benutzt für die nicht lineare Verallgemeinerung die natürlich gegebene Struktur der **Poisson Klammer**

$$[f(X), g(X)]_{\text{pb}} = S^{mn} \frac{\partial f}{\partial X^m} \frac{\partial g}{\partial X^n}$$

mit

$$S = \begin{pmatrix} 0 & \mathbb{1} \\ -\mathbb{1} & 0 \end{pmatrix}.$$

- Die Poisson Klammer erfüllt die Jacobi Identität

$$[f, \cdot][g, h] = [[f, g], h] + [g, [f, h]] \quad \Rightarrow \quad \sum_{fgh} [f, [g, h]] = 0.$$

Die wesentliche definierende Eigenschaft einer Lie-Algebra.



DISKRETE ZEITSCHRITTE - MAPS.

NICHT LINEARE ABBILDUNGEN - ZEITENTWICKLUNG

- Hamiltonschen Bewegungsgleichungen

$$\dot{X}^m = -[H(X), X^m] = -S^{kl} \frac{\partial H}{\partial X^k} \frac{\partial X^m}{\partial X^l} = S^{mk} \partial_k H.$$

- Formale Integration (Kleinbuchstaben für Phasenraumfunktionen, Großbuchstaben für Operatoren)

$$dx^m = -[H, \cdot]x^m dt \quad \Rightarrow \quad x^m(t) = e^{-tH} x^m(0).$$

- Test: Quadratischer Hamiltonian

$$H(x) = \frac{\omega}{2} x^m x^n H_{mn} \quad \Rightarrow \quad x(t) = e^{\omega t SH} x,$$

In Verzweiflung setze ich $SH = J$ (für 1d) und finde wegen $J^2 = -\mathbb{1}$ (nach Reihenentwicklung der Exponentialfunktion)

$$x(t) = \mathbb{1} \cos \omega t + J \sin \omega t, \quad H(x, x') = \frac{\omega}{2} (\gamma x^2 + 2\alpha x x' + \beta x'^2).$$



NORMAL FORM VON LIE-ABBILDUNGEN.

- Such eine Normal Form nach dem Schema

$$x(T) = e^{-H}x(0) \quad \Rightarrow$$

$$u(T) = e^A x(T) = e^A e^{-H} x(0) = e^A e^{-H} e^{-A} e^A x(0) = e^A e^{-H} e^{-A} u(0).$$

sodaß

$$N := e^A e^{-H} e^{-A}$$

möglichst einfach wird.

- Typische Wahl für den linearen Anteil

$$A = \begin{pmatrix} \frac{1}{\sqrt{\beta}} & 0 \\ \frac{\alpha}{\sqrt{\beta}} & \sqrt{\beta} \end{pmatrix} \quad \Rightarrow \quad AJA^{-1} = \begin{pmatrix} 0 & 1 \\ -1 & 0 \end{pmatrix}.$$

Diese Wahl ist **nicht eindeutig!** Z.B.:

$$B = \begin{pmatrix} \sqrt{\gamma} & \frac{\alpha}{\sqrt{\gamma}} \\ 0 & \frac{1}{\sqrt{\gamma}} \end{pmatrix}$$

leistet dasselbe!



NORMAL FORM VON LIE-ABBILDUNGEN.

FREIHEIT IN DER NORMAL FORM TRANSFORMATION

- Mit der Wahl von A wird aus dem quadratischen Anteil der Hamiltonschen Funktion

$$H(x, x') = \frac{\mu_x}{2} \left(\left(\frac{x}{\sqrt{\beta}} \right)^2 + \left(\frac{\alpha x + \beta x'}{\sqrt{\beta}} \right)^2 \right) = \frac{\mu}{2} (\hat{x}^2 + \hat{p}^2).$$

- A und B unterscheiden sich um eine Rotation

$$R = BA^{-1} = \begin{pmatrix} \frac{1}{\sqrt{1+\alpha^2}} & \frac{\alpha}{\sqrt{1+\alpha^2}} \\ -\frac{\alpha}{\sqrt{1+\alpha^2}} & \frac{1}{\sqrt{1+\alpha^2}} \end{pmatrix},$$

und mit $\alpha = \tan \phi$

$$R = \begin{pmatrix} \cos \phi & \sin \phi \\ -\sin \phi & \cos \phi \end{pmatrix}$$

- Wegen $J^2 = -\mathbb{1}$ definiert J eine sogenannte komplexe Struktur. Mit dem Projektionsoperator

$$P = \frac{1}{2}(\mathbb{1} + iJ), \quad P^2 = P$$

definieren sich in natürlicher Weise komplexe Koordinaten. Die so definierte Transformation führt auch auf eine Normal Form.



NORMAL FORM VON LIE-ABBILDUNGEN.

RESONANZBASIS

- Betrachten wir mal den einfachen Fall

$$M = e^{-H_2} e^{-H_3}$$

und suchen nach einer Transformation auf Normal Form mit dem Ansatz

$$A = e^{F_3} A_2 \quad \Rightarrow \quad N = A M A^{-1}.$$

- Damit ergibt sich in zweiter Ordnung in den Wirkungen

$$\begin{aligned} N &= e^{-A H_2} e^{A H_2} e^{F_3} e^{-A H_2} e^{-A H_3} e^{-F_3} \\ &= e^{-\tilde{H}_2} e^{e^{\tilde{H}_2} F_3} e^{-\tilde{H}_3} e^{-F_3} \\ &= e^{-\tilde{H}_2} e^{(e^{\tilde{H}_2} - 1) F_3 - \tilde{H}_3} + \mathcal{O}(I^3). \end{aligned}$$

- Damit drängt sich folgende Wahl für F_3 auf

$$F_3 = \frac{1}{e^{\tilde{H}_2} - 1} \tilde{H}_3.$$



NORMAL FORM VON LIE-ABBILDUNGEN.

RESONANZBASIS

- Wählt man eine Darstellung für die nicht linearen Anteile der Abbildung homogene Polynome in der Eigenbasis (**Resonanzbasis**) von H_2

$$|abcd\rangle = (\sqrt{I_x}e^{i\phi_x})^a (\sqrt{I_x}e^{-i\phi_x})^b (\sqrt{I_y}e^{i\phi_x})^c (\sqrt{I_y}e^{-i\phi_x})^d$$

mit

$$\tilde{H}_2 |abcd\rangle = i((a-b)\mu_x + (c-d)\mu_y) |abcd\rangle,$$

dann erhält man nach Entwicklung der Hamiltonschen Funktion in der Resonanzbasis explizit

$$F_3 = \sum_{a+b+c+d=3} \tilde{H}_{abcd}^{(3)} \frac{1}{e^{i((a-b)\mu_x + (c-d)\mu_y)} - 1} |abcd\rangle.$$

- Diese Darstellung ist **nicht definiert** für

$$e^{i((a-b)\mu_x + (c-d)\mu_y)} = 1, \quad \Rightarrow \quad ((a=b) \wedge (c=d)) \quad \text{Konstante Anteile}$$

$$(mQ_x + nQ_y = p) \quad \text{Resonanz.}$$



NORMAL FORM VON LIE-ABBILDUNGEN.

VON COURANT-SNYDER ZUR NORMAL FORM ...

- Die Transformation auf Winkel-Wirkungs Variable war nach Wahl von A

$$\hat{x} = \sqrt{2J_x} \cos(\phi_x + \phi_{x_0}) \quad \hat{p}_x = -\sqrt{2J_x} \sin(\phi_x + \phi_{x_0}).$$

bzw. nach Wahl von komplexen Variablen

$$h_x = \hat{x} + i\hat{p}_x = \sqrt{2J_x} e^{i(\phi_x + \phi_{x_0})},$$

$$\bar{h}_x = \hat{x} - i\hat{p}_x = \sqrt{2J_x} e^{-i(\phi_x + \phi_{x_0})}$$

- Die Transformation auf Normal Form

$$\zeta = e^{-F} \mathbf{h}$$

erfolgt über die Entwicklung in homogene Polynome

$$F = \sum_{abcd=n} F_{abcd}^{(n)} |abcd\rangle.$$



NORMAL FORM VON LIE-ABBILDUNGEN.

...UND ZURÜCK

- Invertieren dieser Relation gibt

$$\mathbf{h} = e^{-F} \zeta$$

und somit in erster Ordnung z.B.

$$\bar{h}_x = \bar{\zeta}_x + [F, \bar{\zeta}_x] = \bar{\zeta}_x - 2i \sum_{abcd=n} aF_{abcd}^{(n)} |(a-1)bcd\rangle$$

- Die Zeitentwicklung nach N Turns ist in der Normal Form einfach gegeben durch

$$\bar{\zeta}_x(N) = \sqrt{2I_x} e^{i(2\pi\nu_x(I)N + \psi_{x_0})}.$$

$\nu_x(I)$ ist der **amplitudenabhängige** Tune!

- Somit erhält man

$$\begin{aligned} \bar{h}_x(N) = & \sqrt{2I_x} e^{i(2\pi\nu_x(I)N + \psi_{x_0})} \\ & - 2i \sum_{abcd=n} aF_{abcd}^{(n)} (2I_x)^{\frac{a-1+b}{2}} (2I_y)^{\frac{c+d}{2}} e^{-i((a-1+b)(2\pi\nu_x(I)N + \psi_{x_0}) + (c-d)(2\pi\nu_y(I)N + \psi_{y_0}))} \end{aligned}$$



NORMAL FORM VON LIE-ABBILDUNGEN.

VERGLEICH MIT MESSUNG

- Unsere Messung konnten wir schreiben als

$$\hat{z}_j = \sum_{\mathbf{m}} a_{j,\mathbf{m}} e^{2\pi i \mathbf{m}_i \Phi_i}$$

- Durch Koeffizientvergleich mit

$$\begin{aligned} \bar{h}_x(N) &= \sqrt{2I_x} e^{i(2\pi\nu_x(I)N + \psi_{x_0})} \\ &- 2i \sum_{abcd=n} a F_{abcd}^{(n)} (2I_x)^{\frac{a-1+b}{2}} (2I_y)^{\frac{c+d}{2}} e^{-i((a-1+b)(2\pi\nu_x(I)N + \psi_{x_0}) + (c-d)(2\pi\nu_y(I)N + \psi_{y_0}))}. \end{aligned}$$

bestimmen sich die $F_{abcd}^{(n)}$.

- Mittels der Relation

$$F_{abcd}^{(n)} = \frac{H_{abcd}^{(n)}}{e^{i((a-b)\nu_x + (c-d)\nu_y) - 1}}$$

erhält man die **Driving Terms** in der Hamiltonschen Funktion.



ÜBERSICHT.

- 1 WOZU TURN-BY-TURN DATEN
- 2 EIN BEISPIEL: PETRA III
- 3 INTERPRETATION VON TURN-BY-TURN DATEN
- 4 PROBLEME UND GRENZEN**
- 5 ZUSAMMENFASSUNG



BESTIMMUNG FREQUENZEN.

- FFT Methoden sind im allgemeinen zu unpräzise

$$\text{FFT} \sim \frac{1}{N}, \text{ für } N \dots \text{Anzahl der Turns.}$$

- Alternative Methode: NAFF oder Fourier Transformation mit (Hanning-)Filter

$$\text{FT mit Filter} \sim \frac{1}{N^4}.$$

- Tune Stabilität sollte etwa 10^{-4} sein!
- Signal zu Rauschverhältnis verhindert eine Bestimmung der Spektrallinien. Auflösung der BPMs!
- Abhängigkeit der gemessenen Amplitude vom Tune durch Digitalisierung des BPM Signals! Kalibration des Kicks!



DEKOHÄRENZ.

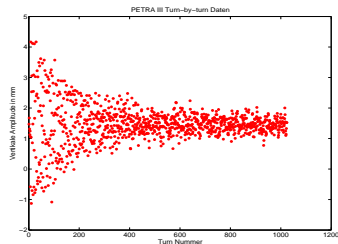


FIGURE: Zerfall der Schwerpunktsbewegung durch Dekohärenz der Teilchenbewegung innerhalb eines Bunches.

- Dekohärenz durch verschiedene im Bunch vertretene Frequenzen.
- Energieabhängige Frequenz über Chromatizität

$$\Rightarrow \xi_{x,y} \sim 0.$$

- Amplitudenabhängiger Tune relevant auch innerhalb eines Bunches.



DEKOHÄRENZ.

SPEKTRALE RESPONSE EINES TEILCHEN-ENSEMBLES

- Amplitudenabhängige Frequenzen mit Detuningkoeffizienten

$$\nu_x = Q_x + Q_{xx}2I_x + Q_{xy}2I_y,$$

$$\nu_y = Q_y + Q_{yx}2I_x + Q_{yy}2I_y,$$

- Gauß'sche Verteilung der Teilchen im Phasenraum mit Amplitude A

$$\rho(X) = \frac{1}{2\pi \det \sigma} e^{\frac{1}{2}(X-A)^T \sigma^{-1} (X-A)}$$

mit

$$\sigma = \begin{pmatrix} \beta & -\alpha \\ -\alpha & \gamma \end{pmatrix}$$

liefert

$$\rho(I, \psi) = \frac{1}{2\pi} e^{\frac{1}{2}(1I+A^2-2A\sqrt{2I} \cos \psi)}.$$



DEKOHÄRENZ.

SPEKTRALE RESPONSE EINES TEILCHEN-ENSEMBLES

- Mittelwert über den Bunch als gewichtetes Integral über den Phasenraum

$$\langle h(N) \rangle = \int dV_{PR} \rho(I, \psi) h(I, \psi, N).$$

- Analytisch Auswertung im allgemeinen nicht möglich.
- Wesentliche Charakteristische Eigenschaft ist die Skalierung der Spektrallinien (m, n) mit einem Faktor

$$\left| m + n \frac{Q_{xy}}{Q_{xx}} \right|.$$

- Breite der Spektrallinie ist invers proportional zur Dekohärenzzeit.
- Dekohärenz ist stärker bei großen Amplituden. Steht in Konkurrenz zu schwachem Signal bei kleinen Amplituden!
- **Aber: Dekohärenz ist auch ein Feature!**



ÜBERSICHT.

- 1 WOZU TURN-BY-TURN DATEN
- 2 EIN BEISPIEL: PETRA III
- 3 INTERPRETATION VON TURN-BY-TURN DATEN
- 4 PROBLEME UND GRENZEN
- 5 ZUSAMMENFASSUNG



ZUSAMMENFASSUNG.

- Turn-by-Turn Daten sind die engen Verwandten von Ein-Teilchen Stahldynamik Rechnungen und Simulationen.
- Analyse von Turn-by-Turn Daten enthält Information über lineare und nicht lineare Dynamik in der Maschine.
- Mögliche (ergänzende) Methode für Kurz-ORM in einer Minute!
- Information über die Existenz nicht lineare Resonanzen und deren Verteilung über den Ring kann durch die Verwendung aller BPMs gewonnen werden.



DANKE!

